

ИЗВЕСТИЯ  
ТОМСКОГО ОРДЕНА ТРУДОВОГО КРАСНОГО ЗНАМЕНИ  
ПОЛИТЕХНИЧЕСКОГО ИНСТИТУТА имени С. М. КИРОВА

---

Том 117

1963

**ЦИФРОВАЯ УПРАВЛЯЮЩАЯ СИСТЕМА ДЛЯ ФРЕЗЕРНОГО  
СТАНКА**

Б. А. ЛАПИН

(Представлено научным семинаром электромеханического факультета)

Автоматизация производственных процессов является основным направлением технического прогресса во всех отраслях промышленности. В настоящее время развитие техники, в частности металлообрабатывающей, достигло такого уровня, что во многих случаях дальнейшее повышение производительности, увеличение скорости и точности обработки ограничивается физическими возможностями операторов, следящих за ходом технологического процесса и управляющих техникой. Полное исключение людей от непосредственного участия в технологическом процессе требует применения специальных автоматических управляющих систем.

Как известно, эволюция систем управления металлорежущими станками привела к созданию производительных копировальных автоматов, работающих по шаблонам. Однако этому способу управления присущи недостатки, связанные с ограниченной точностью шаблонов и трудоемкостью их изготовления.

Прогресс в области автоматики, теории информации и вычислительной техники привел к созданию систем цифрового программного управления, строящихся на электронных вычислительных элементах дискретного действия. Программа для таких систем управления задается аналитически, в виде цифровой модели изделия, состоящей из координат последовательных точек обработки. Цифровой метод управления позволяет задавать программу принципиально с любой степенью точности. Трудоемкость выполнения цифровой модели изделия также гораздо ниже, чем геометрической.

Процесс изготовления изделия на станке с цифровым программным управлением распадается на несколько характерных этапов, не зависящих от конкретной структуры системы управления (рис. 1). Источником информации об изделии является технологическое задание. Оно должно содержать данные о размерах и форме детали, о допусках на обработку, о материале заготовки, о размере и типе инструмента, о режимах резания. В результате математической обработки этой технологической информации получается математическая модель изделия, записанная в виде приращений, которые должны получать координаты центра фрезы в процессе обработки. Заключительными этапами программирования является кодирование матема-

тической информации и запись ее на программную ленту. Система кодирования определяется логической структурой системы управления и не изменяется при обработке различных изделий. Программная лента содержит в закодированном виде полный алгоритм технологии обработки изделия и является задающим документом для системы управления. Последним этапом процесса изготовления изделия является отработка программы системой управления и станком.

Наиболее полно преимущества цифрового управления реализуются при единичном и мелкосерийном производстве деталей сложной конфигурации. В этом случае экономичность станков с цифровым

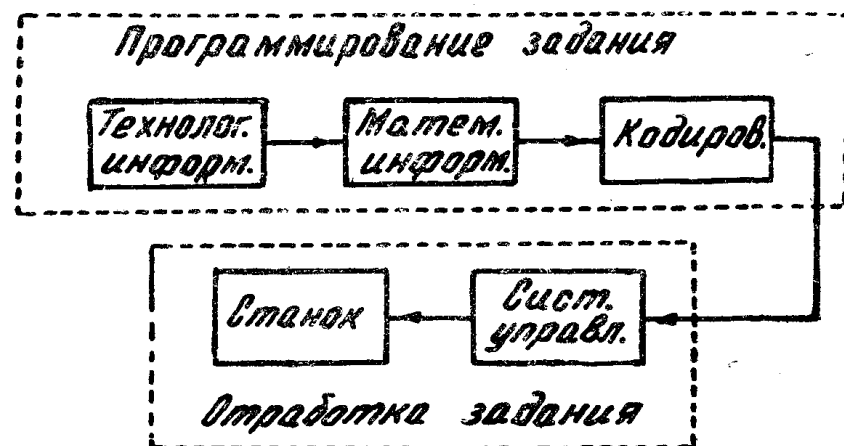


Рис. 1.

программным управлением оказывается в десятки раз выше, чем копировальных автоматов.

Оснащение действующих металлорежущих станков системами цифрового программного управления значительно расширяет их технологические возможности. Ниже описывается двухкоординатная система для управления копирально-фрезерным станком модели 6441А. При модернизации станок подвергся минимальной переделке, которая заключалась в установке датчиков перемещения и штепсельного переключателя режима работы „копирование—программное управление“. Управляющая часть системы собрана на электронных лампах и размещается в приставном шкафу. Для записи и считывания

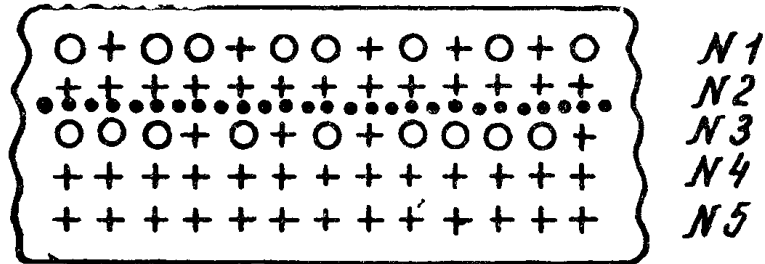


Рис. 2.

программы применяются стандартная телеграфная аппаратура—перфоратор, трансмиттер. В качестве программоносителя используется также стандартная пятидорожечная телеграфная лента. Участок программной ленты показан на рис. 2. Команды на перемещение по ко-

ординате „ $X$ “ для положительного направления записываются на дорожке № 1, для отрицательного направления—на дорожке № 2. Дорожки № 3 и № 4 используются для координаты „ $Y$ “, а дорожка № 5—для команды „Стоп“. При записи программы на программную ленту применяется единичный код, при котором величина перемещения по координате пропорциональна количеству пробитых отверстий, а скорость перемещения—их частоте.

### Структурная схема системы

Структурная схема для одной координаты приведена на рис. 3. В основу цифровой следящей системы положена схема, при которой

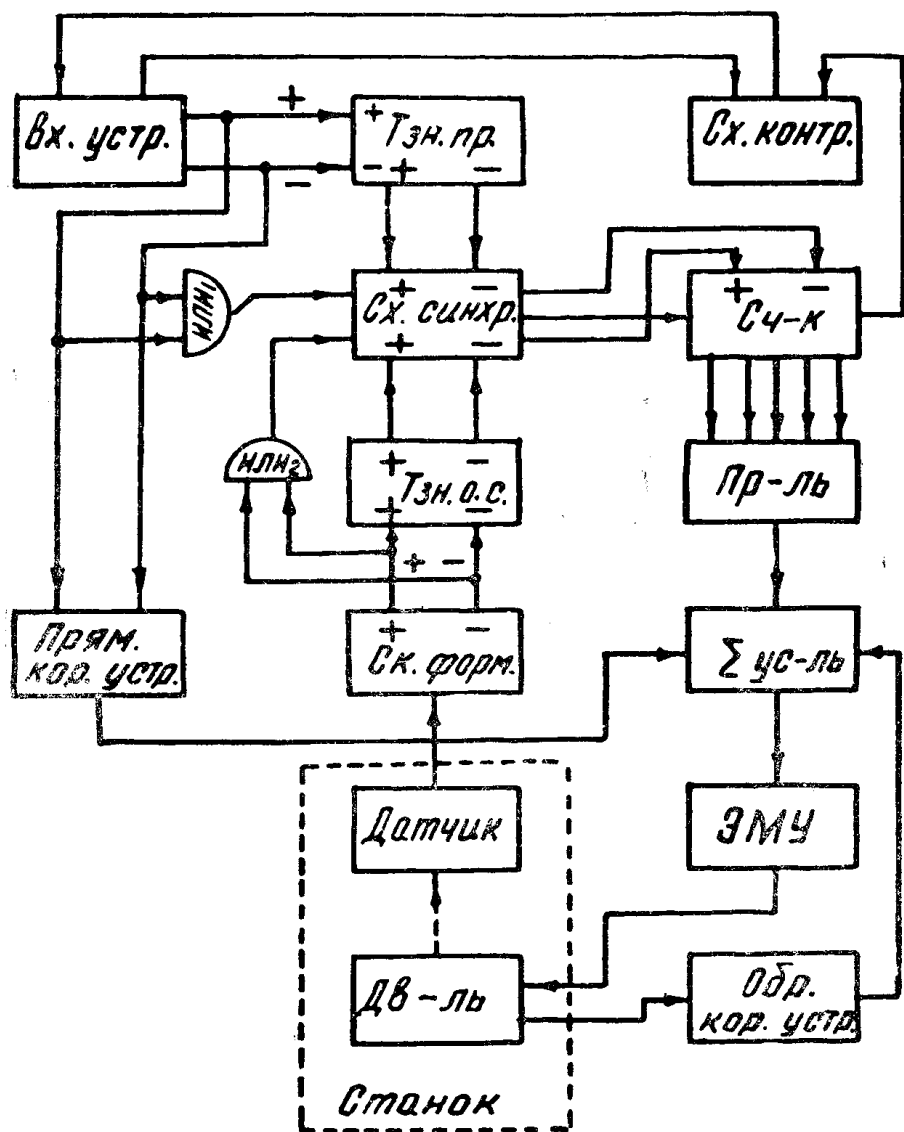


Рис. 3.

сигнал рассогласования вырабатывается в реверсивном счетчике, сравнивающем количество импульсов, поступающих от программы с импульсами, поступающими по цепи обратной связи. Импульсы программы поступают на счетчик через схему „ИЛИ<sub>1</sub>“ и схему син-

хронизации. Эти же импульсы в зависимости от запрограммированного направления перемещения устанавливают триггер „ $T_{\text{зн. пр.}}$ “ или в положение „+“, или в положение „-“. Коммутация счетчика на сложение или на вычитание производится схемой синхронизации так, что импульсы программы учитываются счетчиком в соответствии с положением триггера „ $T_{\text{зн. пр.}}$ “. Точно так же учет импульсов обратной связи производится в соответствии с положением триггера „ $T_{\text{зн. обр. св.}}$ “. Таким образом, в каждый момент времени в счетчике вырабатывается разница между заданным программой и фактическим перемещением исполнительного органа. Этот сигнал рассогласования выдается счетчиком в форме четырехразрядного двоичного числа (положительного или отрицательного) и подается на преобразователь цифра-ток. Сигнал рассогласования, усиленный суммирующим усилителем и ЭМУ, воздействует на двигатель.

Перемещение исполнительного органа измеряется фотоэлектрическим датчиком. Для формирования стандартных по форме импульсов обратной связи служит схема формирования. В ее функции также входит определение знака обратной связи.

Работа схемы синхронизации и реверсивного счетчика рассматривается ниже.

#### Схема синхронизации и реверсивный счетчик

Счетчик цифровой следящей системы собран по последовательной схеме и содержит пять разрядов (рис. 4). Связь между разрядами счетчика осуществляется через управляемые клапаны. При открытых клапанах „ $K_+$ “ счетчик работает на сложение, при открытых клапанах

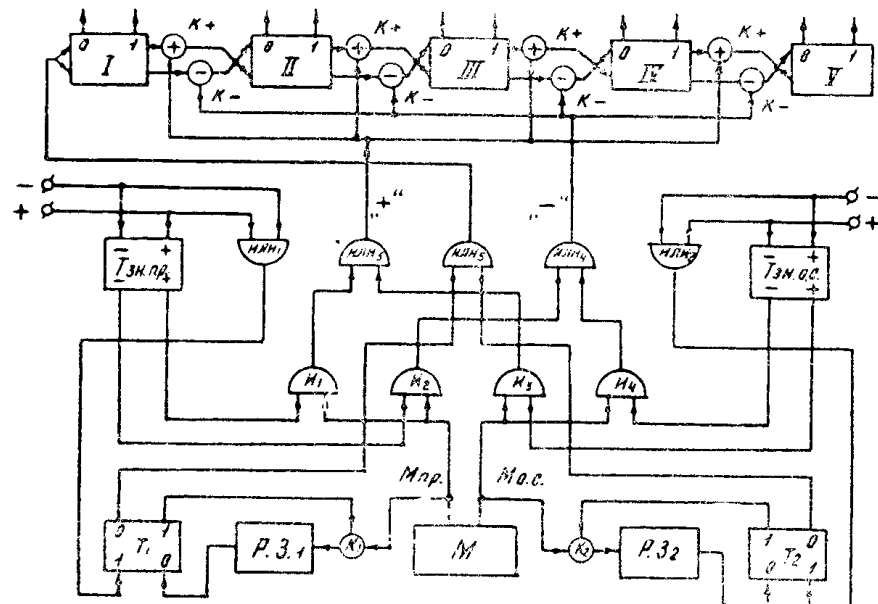


Рис. 4.

„ $K_-$ “ — на вычитание. Напряжение, управляющее клапанами, поступает с выхода схемы синхронизации. Схема синхронизации служит также для разнесения импульсов программы и обратной связи на время, большее разрешающего времени счетчика. В ее состав входят мультивибратор „ $M$ “, электронное реле задержки „ $P.3_1$ “ и „ $P.3_2$ “, два

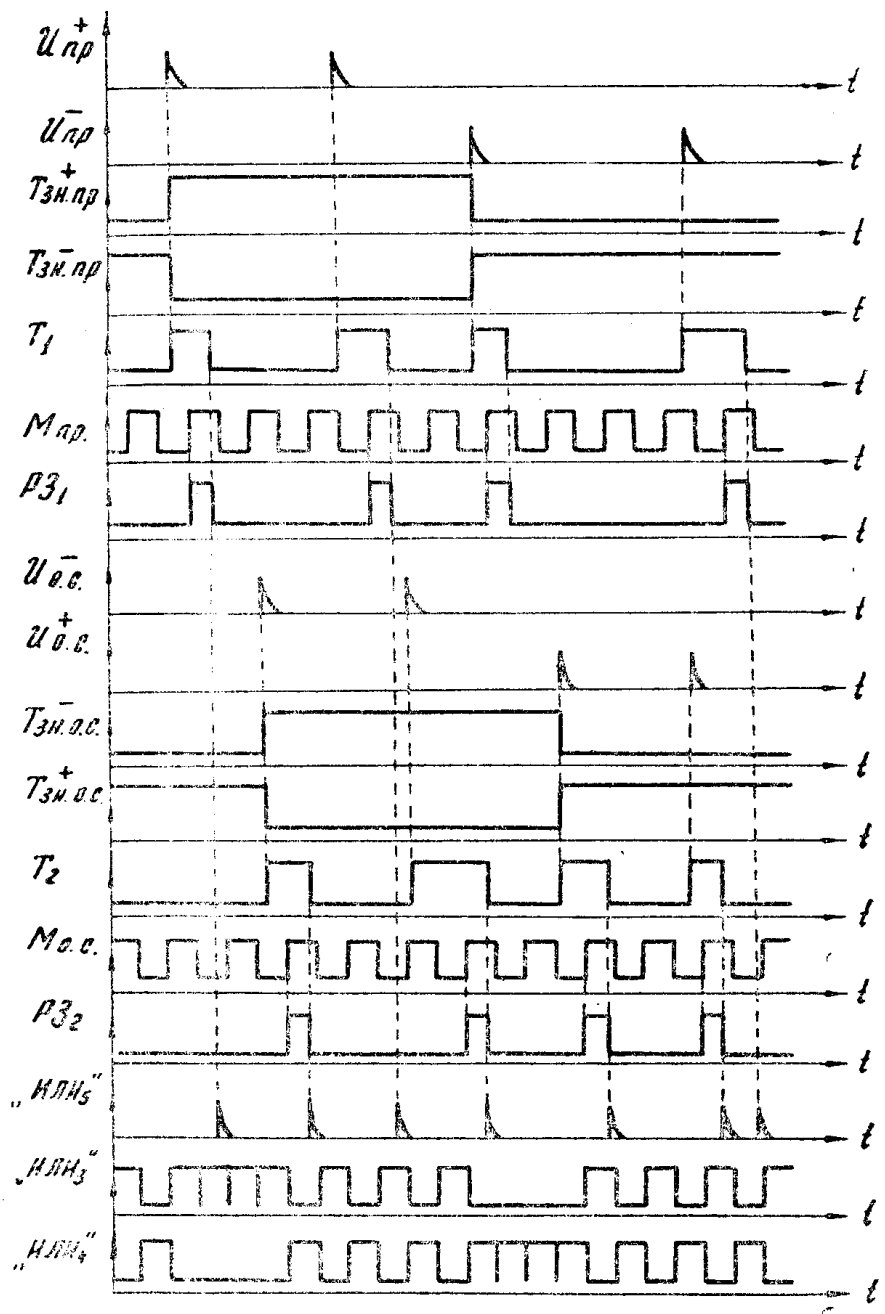


Рис. 5.

триггера „ $T_1$ “ и „ $T_2$ “, и логические элементы „ИЛИ<sub>1</sub>“ — „ИЛИ<sub>5</sub>“, „ $I_1$ “ — „ $I_4$ “.

Работой всей схемы управляет мультивибратор „ $M$ “. Его частота выбирается из условия  $5 f_{\text{пр. макс.}} < F_M < \frac{1}{5 t_{\text{разр.}}}$ .

где  $F_M$  — частота мультивибратора.

$f_{\text{пр. макс.}}$  — максимально возможная частота следования программных импульсов.

$t_{\text{разр.}}$  — разрешающее время счетчика.

Временная диаграмма работы элементов схемы синхронизации приведена на рис. 5. В зависимости от направления перемещения импульс программы поступает или на вход „+“, или на вход „—“ триггера „ $T_{\text{зн. пр.}}$ “ и устанавливает его в соответствующее положение. Этот же импульс через схему „ИЛИ<sub>1</sub>“ поступает на вход „1“ триггера  $T_1$  и устанавливает его в положение „1“. Высокое положительное напряжение с выхода „1“ этого триггера открывает клапан „ $K_1$ “, через который реле задержки „ $PZ_1$ “ соединяется с мультивибратором. Ближайшим положительным импульсом с выхода мультивибратора „ $M_{\text{пр.}}$ “ запускается реле „ $PZ_1$ “. Выдержка времени „ $PZ_1$ “ выбирается

по условию  $\frac{1}{4} T_M < T_{P.3} < \frac{1}{2} T_M$ . Этим же положительным импульсом

мультивибратора включаются схемы совпадения „ $I_1$ “ и „ $I_2$ “. В зависимости от положения триггера  $T_{\text{зн. пр.}}$  высокое напряжение появляется или на выходе схемы „ $I_1$ “, или „ $I_2$ “. Через схемы „ИЛИ<sub>3</sub>“, „ИЛИ<sub>4</sub>“ это напряжение подается на клапаны счетчика. По окончании выдержки „ $PZ_1$ “ происходит установка триггера „ $T_1$ “ в положение „ $O$ “. При этом триггер „ $T_1$ “ выдает через схему „ИЛИ<sub>5</sub>“ на вход счетчика один импульс. В это время открыты или клапаны „ $K_+$ “, или „ $K_-$ “ в зависимости от положения триггера „ $T_{\text{зн. пр.}}$ “. Таким образом, импульсы программы будут учитываться в соответствии с положением триггера „ $T_{\text{зн. пр.}}$ “.

Вторая половина схемы ( $T_2$ ,  $PZ_2$ ,  $I_3$ ,  $I_4$ , ИЛИ<sub>2</sub>,  $T_{\text{зл. о. с.}}$ ) для сигналов обратной связи управляемся напряжением мультивибратора с выхода „ $M_{\text{о. с.}}$ “ и работает аналогично.

Схемы синхронизации, построенные по описанному выше принципу, содержат минимум электронного оборудования и могут работать на частотах до нескольких кГц.

В статье описана система цифрового управления к фрезерному станку. Подобные системы с некоторыми несущественными изменениями могут быть использованы для управления токарными, револьверными, расточными, сверлильными, шлифовальными станками и другим самым разнообразным металлорежущим оборудованием.

Использование цифровых управляющих систем в заводской практике повышает культуру производства, приносит большой экономический эффект и является крупным шагом к полной автоматизации универсального металлорежущего оборудования.

Поступила в редакцию  
в мае 1962 г.